

УДК 621.438:536.24

ТЕПЛОПРОВОДНОСТЬ МНОГОСЛОЙНЫХ МЕТАЛЛОКЕРАМИЧЕСКИХ ПОКРЫТИЙ ДЕТАЛЕЙ ГТД

В. А. ТРУШИН

Факультет авиационных двигателей УГАТУ
Тел: (3472) 23 08 44 E-mail: trush@ugatu.ac.ru

Рассмотрена методика расчета эффективных коэффициентов теплопроводности многослойных многокомпонентных теплозащитных покрытий с определением коэффициентов в каждом отдельном слое при решении стационарной сопряженной задачи теплопроводности для конкретной охлаждаемой стенки с покрытием. Проанализированы три расчетные модели для определения коэффициентов теплопроводности каждого слоя в зависимости от массового состава компонентов в нем. Установлено существенное отличие результатов расчетов по этим моделям и сделан вывод о необходимости экспериментального обоснования и подтверждения одной из этих трех моделей или их корректировки. Получена формула для теплового потока через температуры поверхностей рассматриваемого отдельного слоя при нелинейном распределении температур по толщине этого слоя

Охлаждаемая стенка; лопатка турбины; камера сгорания; теплозащитное покрытие; многослойное; массовые доли; металлокерамика; теплопроводность

ВВЕДЕНИЕ

С ростом температур рабочего газа T_f и коэффициентов теплоотдачи α на таких деталях, как лопатки турбин, стенки жаровых труб камер сгорания и стенки реактивных сопел, широко применяются теплозащитные покрытия из низкотеплопроводных материалов, как, например, двуокись циркония ZrO_2 , окись иттрия Y_2O_3 , двуокись церия CeO_2 и другие.

В целях уменьшения возможности отслоения теплозащитного покрытия от металлической поверхности, защищаемой от перегрева детали, его выполняют нанесением послойно с изменением процентного содержания металла и низкотеплопроводного материала с переходом от первого слоя на металле к последнему на газовой поверхности. Первый слой на металле может содержать около 95% того же металла и всего около 5% низкотеплопроводного материала. Второй слой состоит из 90% металла и 10% теплозащитного материала и т. д. Предпоследний слой содержит около 95% низкотеплопроводного материала

и около 5% металла. Последний слой может не содержать металла. Общая толщина теплозащитного покрытия Δ обычно не превышает одного миллиметра [1]. Схема нанесенной на металлическую стенку структуры теплозащитного покрытия представлена на рис. 1.

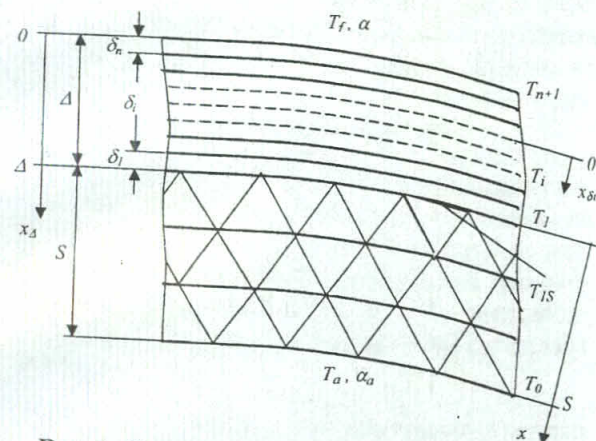


Рис. 1. Расчетная схема охлаждаемой стенки с многослойным многокомпонентным теплозащитным покрытием толщиной Δ

Толщина первого слоя (на поверхности детали, где $x_{\Delta} = \Delta$) равна δ_1 с температурами T_1 при $x_{\Delta} = \Delta$ и T_2 при $x_{\Delta} = \Delta - \delta_1$. Толщина i -го слоя (на расстоянии $x_{\Delta i}$ от поверхности покрытия) равна δ_i с температурами T_i при $x_{\Delta} = \Delta - \sum_{k=1}^{i-1} \delta_k$ и T_{i+1} при $x_{\Delta} = \Delta - \sum_{k=1}^i \delta_k$. Толщина последнего n -го слоя равна δ_n с температурами его границ T_n и T_{n+1} .

РАСЧЕТНЫЕ ЗАВИСИМОСТИ

Зависимость коэффициента теплопроводности λ от температуры T обычно для конструкционных материалов представляется в виде:

для металла

$$\lambda_m = a_m + b_m T, \quad (1)$$

для низкотеплопроводного компонента (неметалла)

$$\lambda_n = a_n + b_n T, \quad (2)$$

где a_m, a_n, b_m, b_n — экспериментальные коэффициенты, приводимые в справочной литературе.

Если известны массовые доли компонентов в каждом напыляемом слое теплозащитного покрытия g_{mi} для металла и $g_{ni} = (1 - g_{mi})$ для неметалла, то коэффициент теплопроводности для конкретного i -го слоя определится как [1]

$$\begin{aligned} \lambda_i(T) &= g_{mi}\lambda_m(T) + g_{ni}\lambda_n(T) = \\ &= g_{mi}(a_m + b_m\bar{T}_i) + g_{ni}(a_n + b_n\bar{T}_i), \\ g_{mi}a_m + g_{ni}a_n + (g_{mi}b_m + g_{ni}b_n)\bar{T}_i &= \\ &= A_i + B_i\bar{T}_i, \end{aligned} \quad (3)$$

где

$$\begin{aligned} A_i &= g_{mi}a_m + g_{ni}a_n = \\ &= g_{mi}a_m + (1 - g_{mi})a_n, \end{aligned} \quad (4)$$

$$\begin{aligned} B_i &= g_{mi}b_m + g_{ni}b_n = \\ &= g_{mi}b_m + (1 - g_{mi})b_n, \end{aligned} \quad (5)$$

\bar{T}_i — средняя температура i -го слоя. Аналогичны выражения для А и В, если компонентов окажется больше двух.

Формула (3) получается из предположения, что компоненты металла и неметалла в рассматриваемом слое распределены равномерно по толщине δ_i в виде вертикальных столбиков (рис. 2).

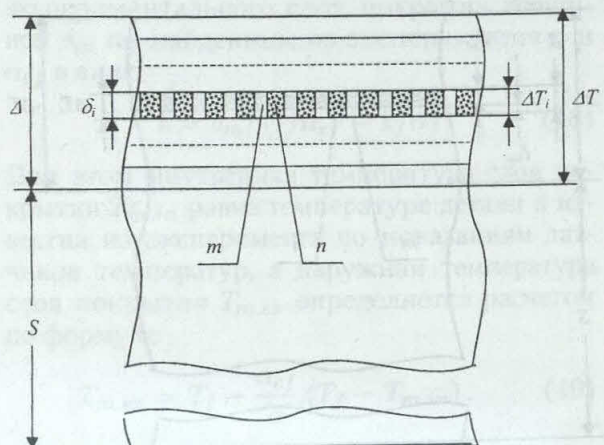


Рис. 2. Схема распределения компонентов металла (m) и неметалла (n) в слое i в виде столбиков

При этом предполагается, что каждый столбик проводит теплоту пропорционально его коэффициенту теплопроводности (λ_m или λ_n). Эта модель соответствует линейной зависимости коэффициента теплопроводности слоя от массовой доли металла g_{mi} в смеси. Формулу (3) можно привести к более удобному для практического применения виду, запиав удельный тепловой поток через параметры i -го слоя в виде

$$\begin{aligned} q &= -\lambda_i(\Delta T)_i/\delta_i = \\ &= -\left[\lambda_m(\Delta T)_i \frac{g_{mi}}{\delta_i} + \lambda_n(\Delta T)_i \frac{(1-g_{mi})}{\delta_i}\right] = \\ &= -[\lambda_m g_{mi} + \lambda_n(1-g_{mi})](\Delta T)_i/\delta_i, \end{aligned} \quad (6)$$

откуда

$$\begin{aligned} \lambda_i &= \lambda_m g_{mi} + \lambda_n(1-g_{mi}) = \\ &= \lambda_n[1 + (\lambda_m/\lambda_n - 1)g_{mi}]. \end{aligned} \quad (7)$$

Значит, формула (3), с учетом () и (2a), сводится к виду

$$\lambda_i = (a_n + b_n\bar{T}_i) \left\{ 1 + \left[\frac{a_m + b_m\bar{T}_i}{a_n + b_n\bar{T}_i} - 1 \right] g_{mi} \right\}. \quad (8)$$

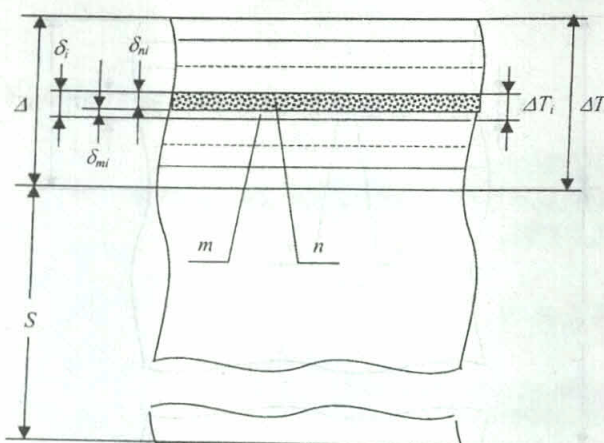


Рис. 3. Схема распределения компонентов металла (*m*) и неметалла (*n*) в слое *i* в виде пленок

Если рассматривать возможный вариант линейной зависимости теплового сопротивления $R_i = \delta_{mi}/\lambda_m + \delta_{ni}/\lambda_n$ слоя смеси от массовой доли металла g_{mi} в нем, то в этом случае целесообразно использовать выражение для разности температур в *i*-м слое через тепловой поток в виде

$$(\Delta T)_i = q (\delta_{mi}/\lambda_m + \delta_{ni}/\lambda_n) = q \delta_i / \lambda_i. \quad (9)$$

Общая разность температур в теплозащитном покрытии толщиной Δ определяется через сумму тепловых сопротивлений отдельных слоев в виде

$$\begin{aligned} -(\Delta T) &= -\sum_{i=1}^n (\Delta T)_i = \\ &= q \left(\sum_{i=1}^n (\delta_{mi}/\lambda_m + \delta_{ni}/\lambda_n) \right). \quad (10) \end{aligned}$$

Так как в рассматриваемой модели $\delta_i = \delta_{ni} + \delta_{mi}$, то

$$1 = \delta_{mi}/\delta_i + \delta_{ni}/\delta_i = g_{mi} + (1 - g_{mi}). \quad (11)$$

Из формулы (7) следует

$$\begin{aligned} q &= -(\Delta T)_i \lambda_i / \delta_i = \\ &= -\frac{(\Delta T)_i}{\delta_i} \{1 / [\delta_{mi} / (\delta_i / \lambda_m) + \delta_{ni} / (\delta_i / \lambda_n)]\}, \quad (12) \end{aligned}$$

откуда, с учетом (13), следует

$$\begin{aligned} \lambda_i &= 1 / [g_{mi} / \lambda_m + (1 - g_{mi}) / \lambda_n] = \\ &= \lambda_n \{1 / [1 - (1 - \lambda_n / \lambda_m) g_{mi}]\}. \quad (13) \end{aligned}$$

Следовательно, для этой модели, с учетом (1) и (2a), можно записать

$$\lambda_i = \frac{a_n + b_n \bar{T}_i}{1 - \left(1 - \frac{a_n + b_n \bar{T}_i}{a_m + b_m \bar{T}_i}\right) g_{mi}}. \quad (14)$$

Формула (14) соответствует геометрической интерпретации по схеме, в которой компоненты металла и неметалла в слое распределены равномерно по толщине δ_i в виде горизонтальных зон (рис. 3).

Возможно рассмотрение третьей модели, по которой значение теплопроводности принимается как среднеарифметическое от значений по формулам (6) и (18)

$$\begin{aligned} \lambda_i &= \frac{a_n + b_n \bar{T}_i}{2} \left\{ \left[1 + \left(\frac{a_m + b_m \bar{T}_i}{a_n + b_n \bar{T}_i} - 1 \right) g_{mi} \right] + \right. \\ &\quad \left. + \left[1 - \left(1 - \frac{a_n + b_n \bar{T}_i}{a_m + b_m \bar{T}_i} \right) g_{mi} \right]^{-1} \right\}. \quad (15) \end{aligned}$$

Формулу (15) затруднительно интерпретировать какой-либо геометрической схемой.

Графическое изображение зависимости коэффициента λ от массовой доли металла в смеси покрытия g_m по уравнениям (6), (18) и (20) представлено на рис. 4 при $\bar{T}_i = 1000^\circ\text{C}$. При этом $\lambda_m = 8,41 + 0,0186T^\circ\text{C}$ ($a_m = 8,41 \text{ Wt/mK}$; $b_m = 0,0186 \text{ Wt/mK}^2$) и $\lambda_n = 0,8 + 0,001T^\circ\text{C}$ ($a_n = 0,8 \text{ Wt/mK}$; $b_n = 0,001 \text{ Wt/mK}^2$). Уравнению (8) соответствует линия 1, уравнению (14) — линия 3, уравнению (15) — линия 2.

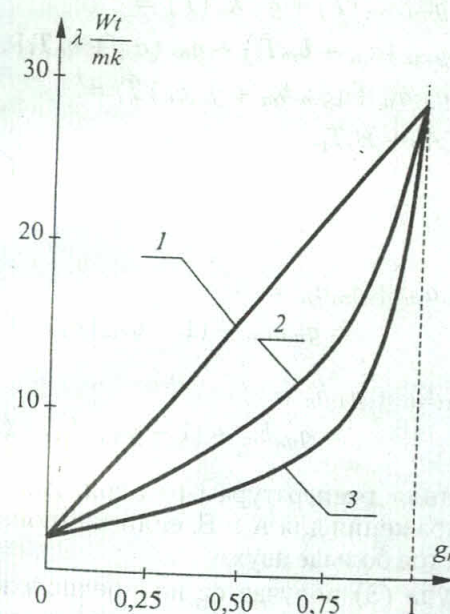


Рис. 4. График зависимости коэффициента теплопроводности λ двухкомпонентного теплозащитного покрытия от массовой доли металла g_m в смеси

На основании большого различия в кривых на рис. 4 следует сделать вывод о необходимости экспериментального определения зависимости коэффициента λ от массовой доли металла в смеси покрытия g_m . Эти эксперименты необходимо проводить при разных температурах смесей. Исследования по определению λ в слое смеси, выполненном по натурной технологии толщиной δ_m на детали из натурного материала, целесообразно проводить методом измерения коэффициентов теплоотдачи α . На стенке частично без покрытия и частично с покрытием измеряются соответственно α и α_{ef} [2] (рис. 5).

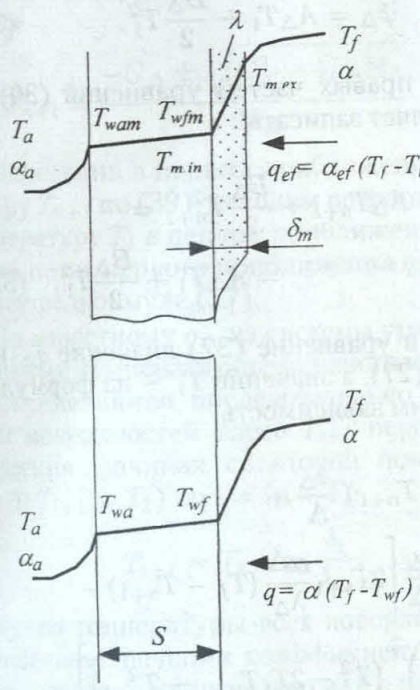


Рис. 5. Схема стенки с частично покрытой теплозащитным материалом поверхностью для определения коэффициентов теплопроводности λ по замеренным коэффициентам теплоотдачи α и α_{ef} при натурных высоких температурах T_f

Тепловой поток q_{ef} через стенку с покрытием можно выразить в виде

$$q_{ef} = \alpha (T_f - T_{m.ex}) = \frac{\lambda}{\delta_m} (T_{m.ex} - T_{m.in}). \quad (16)$$

С другой стороны,

$$q_{ef} = \alpha_{ef} (T_f - T_{m.in}). \quad (17)$$

Из уравнений (16) и (17) следует формула для расчета коэффициента теплопроводности

экспериментального слоя покрытия толщиной δ_m по найденным из экспериментов α и α_{ef} в виде

$$\lambda = \delta_m / (1/\alpha_{ef} - 1/\alpha). \quad (18)$$

При этом внутренняя температура слоя покрытия $T_{m.in}$ равна температуре детали и известна из эксперимента по показаниям датчиков температур, а наружная температура слоя покрытия $T_{m.ex}$ определяется расчетом по формуле

$$T_{m.ex} = T_f - \frac{\alpha_{ef}}{\alpha} (T_f - T_{m.in}). \quad (19)$$

В качестве средней температуры экспериментального слоя покрытия толщиной δ_m можно принять среднеарифметическую от температур $T_{m.in}$ и $T_{m.ex}$, так как эта толщина очень мала:

$$\bar{T} = (T_{m.in} + T_{m.ex}) / 2. \quad (20)$$

Таким образом, получив в экспериментах для различных долей металла в смеси покрытия g_m значения λ по уравнению (18) и \bar{T} по уравнению (20), можно проверить достоверность каждого из уравнений (8), (14), (15) или уточнить одно из них, наиболее близкое к экспериментальным данным.

Если рассматривать теплозащитное покрытие как многослойную структуру, то в пределах одного i -го тонкого слоя дифференциальное уравнение теплопроводности Фурье имеет вид (см. рис. 1)

$$\frac{d}{dx} \left[\lambda_i (T) \frac{dT}{dx} \right] = 0. \quad (21)$$

Линеаризация этого уравнения осуществляется введением функции (подстановка Кирхгофа)

$$\varphi_i = \int_0^T \lambda_i (T) dT. \quad (22)$$

Из совместного рассмотрения (21) и (22) получается уже ранее известное выражение для плотности теплового потока через искомое в зависимости от температуры поверхностей i -го слоя

$$q = \left[a_i + b_i \left(\frac{T_{i+1} + T_i}{2} \right) \right] \frac{T_{i+1} - T_i}{\delta_i}. \quad (23)$$

Температуры отдельных слоев теплозащитного покрытия и их коэффициенты теплопроводности взаимозависимы и неизвестны. Поэтому целесообразно для решения

задачи применить метод последовательных приближений. В первом приближении допустимо принять в качестве средней температуры \bar{T} общего слоя ТЗП температуру поверхности элемента детали $T_{1,s}$, на которой этот слой нанесен (на рис. 1 этот элемент отмечен мелкой штриховкой) из расчета температурного состояния детали в первом приближении без учета наличия теплозащитного покрытия

$$\bar{T} = T_{1,s}. \quad (24)$$

Расчет $T_{1,s}$ осуществляется предварительно одним из известных методов, например, элементарных балансов, если деталь сложной геометрии, или аналитически, если деталь классической конфигурации по действительному коэффициенту теплоотдачи со стороны газа α и температуре газа T_f и по параметрам со стороны охладителя. Тогда осредненное значение коэффициента теплопроводности λ_Δ в общем слое Δ определится по массовой доле металла $g_{m\Delta}$ в нем как (формула (8))

$$\lambda_\Delta = (a_n + b_n \bar{T}) \times \\ \times \left\{ 1 + \left[\frac{(a_m + b_m \bar{T})}{(a_n + b_n \bar{T})} - 1 \right] g_{m\Delta} \right\}. \quad (25)$$

Возможен расчет λ_Δ по формуле (14) или по формуле (15).

Выражая плотность теплового потока q_Δ через разности неизвестных температур в каждом слое и на поверхности со стороны газа с приближенным постоянным значением λ_Δ , получаем уравнение с двумя неизвестными q_Δ и T_1 в форме

$$q_\Delta = \frac{T_f - T_1}{\sum_{i=1}^n \frac{\delta_i}{\lambda_\Delta} + \frac{1}{\alpha}}. \quad (26)$$

С другой стороны, из равенства тепловых потоков от газа к покрытию и через него имеем

$$q_\Delta = \alpha (T_f - T_{n+1}) = \frac{\lambda_\Delta}{\Delta} (T_{n+1} - T_1), \quad (27)$$

откуда выражаем T_1 через T_{n+1} в виде

$$T_1 = T_{n+1} - \frac{\alpha \Delta}{\lambda_\Delta} (T_f - T_{n+1}). \quad (28)$$

Для определения температурного поля по общей толщине покрытия Δ на основании q_Δ

находим A_Δ по (4) и B_Δ по (5) и обращаемся к интегралу уравнения (22), записав его, с учетом (25), в виде ($x = 0$)

$$\bar{\varphi}_0 = A_\Delta T_{n+1} + \frac{B_\Delta}{2} T_{n+1}^2, \quad (29)$$

а из уравнения (22) для $x = \Delta$ будем иметь

$$\bar{\varphi}_\Delta = -q_\Delta \Delta + A_\Delta T_{n+1} + \frac{B_\Delta}{2} T_{n+1}^2. \quad (30)$$

Но, с другой стороны, при $x = \Delta$ имеем температуру T_1 , и по интегралу уравнения (22) можно записать

$$\bar{\varphi}_\Delta = A_\Delta T_1 + \frac{B_\Delta}{2} T_1^2. \quad (31)$$

Равенство правых частей уравнений (30) и (31) позволяет записать

$$-q_\Delta \Delta + A_\Delta T_{n+1} + \frac{B_\Delta}{2} T_{n+1}^2 = \\ = A_\Delta T_1 + \frac{B_\Delta}{2} T_1^2. \quad (32)$$

Подставив в уравнение (32) значение q_Δ из уравнения (27), а значение T_1 – из формулы (22), получим зависимость

$$\frac{\alpha \Delta}{\lambda_\Delta} (T_f - T_{n+1}) \frac{A_\Delta}{\Delta} + \\ + \frac{B_\Delta}{2\Delta} \left[2T_{n+1} \frac{\alpha \Delta}{\lambda_\Delta} (T_f - T_{n+1}) - \right. \\ \left. - \left(\frac{\alpha \Delta}{\lambda_\Delta} \right)^2 (T_f^2 - 2T_f T_{n+1} + T_{n+1}^2) \right] - \\ - \alpha T_f + \alpha T_{n+1} = 0. \quad (33)$$

Раскрыв скобки относительно неизвестной температуры T_{n+1} , получим

$$- \left\{ \frac{B_\Delta}{2\Delta} \left[2 \frac{\alpha \Delta}{\lambda_\Delta} + \left(\frac{\alpha \Delta}{\lambda_\Delta} \right)^2 \right] \right\} T_{n+1}^2 + \\ + \left[\frac{B_\Delta T_f \alpha}{\lambda_\Delta} \left(1 + \frac{\alpha \Delta}{\lambda_\Delta} \right) + \alpha \left(1 - \frac{A_\Delta}{\lambda_\Delta} \right) \right] T_{n+1} - \\ - \left[\alpha T_f - \frac{A_\Delta T_f \alpha}{\lambda_\Delta} + \frac{B_\Delta}{2\Delta} \left(\frac{\alpha \Delta}{\lambda_\Delta} \right)^2 T_f^2 \right] = 0. \quad (34)$$

Уравнение (34) имеет вид

$$F_\Delta T_{n+1}^2 + G_\Delta T_{n+1} + H_\Delta = 0, \quad (35)$$

где

$$F_{\Delta} = - \left\{ \frac{B_{\Delta}}{2\Delta} \left[2 \frac{\alpha\Delta}{\lambda_{\Delta}} + \left(\frac{\alpha\Delta}{\lambda_{\Delta}} \right)^2 \right] \right\}; \quad (36)$$

$$G_{\Delta} = \frac{B_{\Delta}T_f\alpha}{\lambda_{\Delta}} \left(1 + \frac{\alpha\Delta}{\lambda_{\Delta}} \right) + \alpha \left(1 - \frac{A_{\Delta}}{\lambda_{\Delta}} \right); \quad (37)$$

$$H_{\Delta} = - \left[\alpha T_f - \frac{A_{\Delta}T_f\alpha}{\lambda_{\Delta}} + \frac{B_{\Delta}}{2\Delta} \left(\frac{\alpha\Delta}{\lambda_{\Delta}} \right)^2 T_f^2 \right]. \quad (38)$$

Решением уравнения (35) является выражение

$$T_{n+1} = \frac{-G_{\Delta} \pm \sqrt{G_{\Delta}^2 - 4F_{\Delta}H_{\Delta}}}{2F_{\Delta}}. \quad (39)$$

Определив в первом приближении температуру T_{n+1} по (39), находим по формуле (28) температуру T_1 в первом приближении, а тепловой поток первого приближения q_{Δ} определяется по формуле (27).

По известному q_{Δ} из системы уравнений с частными температурными напорами по слоям определяются последовательно температуры поверхностей слоев T_{i+1} первого приближения, начиная со второй поверхности ($i = 1; T_{i+1} = T_2$) до $i = (n - 1)$:

$$T_{i+1} = T_i + q_{\Delta} \frac{\delta_i}{\lambda_{\Delta}}. \quad (40)$$

Получив температуры всех поверхностей T_i , определяем значения коэффициентов теплопроводности λ_i для каждого из n слоев во втором приближении по массовой доле металла g_{mi} и \bar{T}_i по формулам или (8), или (14), или (15). При этом

$$\bar{T}_i = (T_i + T_{i+1}) / 2. \quad (41)$$

Полученному распределению T_i по поверхностям слоев и λ_i в этих слоях соответствует новый тепловой поток q_N , отличающийся от q_{Δ} , первого приближения. При этом температура нижней поверхности первого слоя T_1 будет отличаться от температуры поверхности элемента детали $T_{1,s}$, рассчитанной в первом приближении без учета наличия теплозащитного покрытия. Для проведения расчетов во втором приближении для получения q_N по формуле типа (26) следует температуру T_1 скорректировать, приняв ее равной по выражению

$$T_{1,N} = \frac{T_1 + T_{1,s}}{2} \quad (42)$$

и рассчитать q_N по формуле, аналогичной (26), с заменой T_1 на $T_{1,N}$, и λ_{Δ} на λ_i , в виде

$$q_N = \frac{T_f - T_{1,N}}{\sum_{i=1}^n \frac{\delta_i}{\lambda_i} + \frac{1}{\alpha}}. \quad (43)$$

По новому тепловому потоку q_N последовательно определяются новые температуры поверхности $(T_{i+1})_N$, по скорректированной температуре нижней поверхности и первого слоя, начиная от второй поверхности ($i = 1, T_{i+1} = T_{2N}$) до $i = n$, по формуле, аналогичной (40)

$$(T_{i+1})_N = (T_i)_N + q_N \frac{\delta_i}{\lambda_i}. \quad (44)$$

Затем уточняются значения коэффициентов теплопроводности λ_{iN} для каждого из n слоев, аналогично предыдущему приближению по \bar{T}_{iN} .

Для получения коэффициента осредненной теплопроводности $\lambda_{\Delta m}$ всего наслоения теплозащитного покрытия запишем выражение для теплового потока аналогично (43) через это $\lambda_{\Delta m}$ в виде

$$q_N = \frac{(T_1 - T_{n+1})_N}{\sum_{i=1}^n \frac{\delta_i}{\lambda_{iN}}} = \lambda_{\Delta m} \frac{(T_1 - T_{n+1})_N}{\Delta}, \quad (45)$$

откуда

$$\lambda_{\Delta m} = \Delta \left/ \sum_{i=1}^n \frac{\delta_i}{\lambda_{iN}} \right.. \quad (46)$$

Для проведения расчетов температур в детали с учетом наличия теплозащитного покрытия осуществляют корректировку коэффициента теплоотдачи α на эффективное его значение α_{ef} по формуле [2]

$$\alpha_{ef} = 1 / \left(\frac{1}{\alpha} + \frac{\Delta}{\lambda_{\Delta m}} \right). \quad (47)$$

Получив температурное поле в детали и температуру поверхности рассматриваемого элемента $T_{1,sN}$ во втором приближении, сопоставляют его с принятой температурой $T_{1,N}$,

найденной по формуле (42). Если отличие существенное, то температуру T_1 вновь корректируют по формуле

$$T_{1.NN} = T_{1.N} + (T_{1.N} - T_{1.sN}), \quad (48)$$

и далее цикл расчетов температур покрытия по формулам (42)–(48) и температур детали по $\alpha_{\text{эфф}}$ повторяется до получения совпадения принятой температуры T_1 с расчетной $T_{1.s}$ на поверхности элемента детали с заданной точностью.

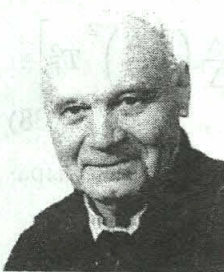
По представленным алгоритмам составлено программное обеспечение.

СПИСОК ЛИТЕРАТУРЫ

1. Cavanagh J. R., Cross K. R., Newman R. L. The graded thermal barrier – a new approach

for turbine engine cooling // AIAA Paper. 1972. No 361. P. 88–92.

2. Пат. 1804617 (РФ). Способ определения теплофизических характеристик теплозащитного покрытия на материале / В. А. Трушин, В. Н. Федоров // Б. И. 1993. № 11.



ОБ АВТОРЕ

Трушин Владимир Алексеевич, профессор каф. теории авиационных и ракетных двигателей УГАТУ. Дипл. инж.-механик (УАИ, 1960), д-р техн. наук по двигателям ЛА и их технологиям (заш. в КАИ, 1985). Исследования в области системы охлаждения лопаток и дисков авиационных турбин.

Информация



**А.К.Белкин, Т.П.Костюкова,
Л.Э.Рогинская, А.А.Шуляк**

Тиристорные преобразователи частоты

М.: Энергоатомиздат, 2000

263 с. Библиогр.: 56 назв.

Производственно-практическое издание

ISBN 5-283-00762-2

В книге рассматриваются силовые схемы тиристорных преобразователей частоты, которые нашли широкое применение при конструировании, изготовлении и эксплуатации в промышленности. Сделан акцент на вопросы анализа электромагнитных процессов в таких схемах и расчета параметров индуктивных элементов. Описаны тиристорные преобразователи частоты для различных индукционных технологий. Для инженеров, техников, студентов и научных работников, специализирующихся в области промышленной электроники, преобразовательной техники, энергетики и электротехнологии.

1. Особенности индукционной электротехнологии и требования к тиристорным преобразователям частоты

2. Тиристорные последовательные резонансные инверторы в технологических комплексах машиностроения

3. Определение параметров тиристорных преобразователей частоты

4. Расчет параметров индуктивных элементов последовательных инверторов

5. Промышленные тиристорные преобразователи частоты с частотным управлением